

Тема 2. Электромагнитные волны в направляющих системах

Лекция 14. Передача электромагнитной энергии от генератора к нагрузке.

Суперпозиция падающих и отраженных волн в линии передачи. Параметры, характеризующие режимы работы линии передачи

Рассмотрим участок линии передачи длиной L рис. 1.

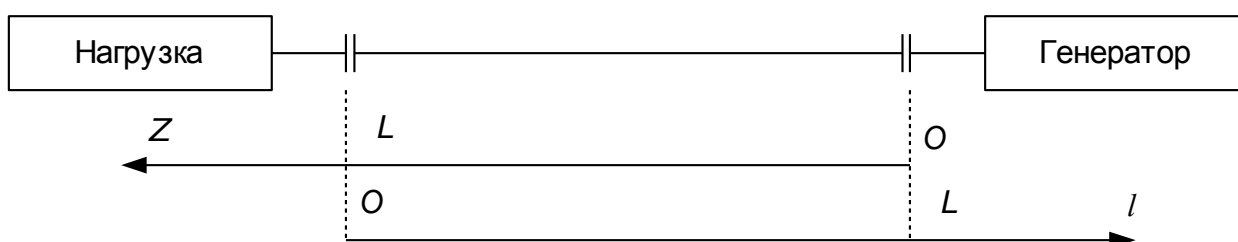


Рис. 1

Ранее было получено выражение, в силу которого любая составляющая поля в линии передачи СВЧ описывается функцией

$$L = F(x, y)e^{i\gamma z} + F(x, y)e^{-i\gamma z}.$$

Следовательно, любая составляющая вектора E и H также будет состоять из двух слагаемых. Ограничиваясь только поперечными составляющими и ($\gamma = \beta$), можно записать:

$$\left. \begin{aligned} E(z) &= E_n e^{-i\beta z} + E_o e^{i\beta z} \\ H(z) &= H_n e^{-i\beta z} + H_o e^{i\beta z} \end{aligned} \right\}, \quad (1)$$

где E_n и H_n - комплексные амплитуды составляющих электрического и магнитного полей падающей волны;

E_o и H_o - аналогичные составляющие для отраженной волны.

Наиболее часто режим работы линии передачи определяется свойствами нагрузки. Поэтому целесообразно отсчет координат вдоль линии вести от нагрузки, для чего в выражении (1) заменяется z на l .

Учтем также, что для падающей волны волновое сопротивление

$$Z_c = E_n / H_n \geq 0,$$

а для отраженной волны -

$$Z_c = E_o / H_o \leq 0.$$

Поэтому вместо выражений (1) можно записать

$$\left. \begin{aligned} E(l) &= E_n e^{i\beta l} + E_o e^{-i\beta l} \\ H(l) &= \frac{1}{Z_c} (E_n e^{i\beta l} - E_o e^{-i\beta l}) \end{aligned} \right\}, \quad (2)$$

или

$$E(l) = E_n(l) + E_o(l); \quad H(l) = Z_c^{-1} (En(l) - E_o(l)). \quad (3)$$

Линия передачи электромагнитной энергии характеризуется волновым сопротивлением Z_c . Волновое сопротивление — это отношение комплексных амплитуд поперечных составляющих электрического и магнитного полей. Используя выражения для поперечных составляющих полей волн типа Н и Е, можно записать:

$$Z_{CH} = \left(\frac{E_x}{H_y} \right)_H = - \left(\frac{E_y}{H_x} \right)_H = \frac{\omega \mu_a}{\gamma};$$

$$Z_{CE} = \left(\frac{E_x}{H_y} \right)_E = - \left(\frac{E_y}{H_x} \right)_E = \frac{\gamma}{\omega \varepsilon_a}.$$

Для случая, когда $\gamma = \beta$, с учетом выражений для β и λ_s , получим:

$$Z_{CH} = \sqrt{\frac{\mu_a}{\varepsilon_a}} \cdot \frac{1}{\sqrt{1 - \frac{1}{\varepsilon \mu} \left(\frac{\lambda}{\lambda_{kp}} \right)^2}};$$

$$Z_{CE} = \sqrt{\frac{\mu_a}{\varepsilon_a}} \cdot \sqrt{1 - \frac{1}{\varepsilon \mu} \left(\frac{\lambda}{\lambda_{kp}} \right)^2},$$

где Z_{CH} , Z_{CE} - волновое сопротивление для волн типа Н и Е;

$\sqrt{\frac{\mu_a}{\varepsilon_a}} = Z$ - волновое сопротивление диэлектрика, заполняющего

волновод.

Характер зависимости Z_c от длины волны показан на рис. 2.

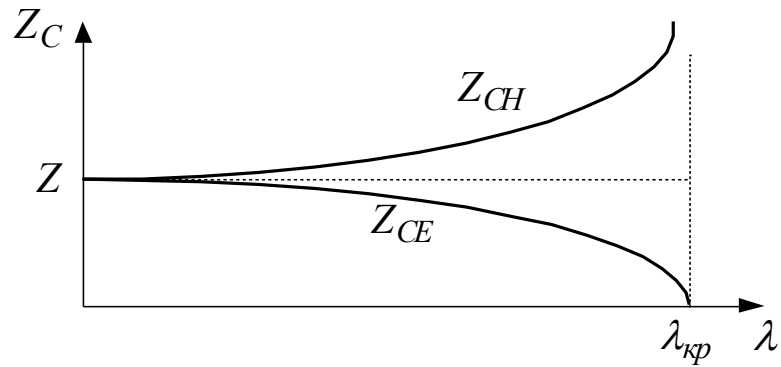


Рис. 2

Для коаксиального волновода волновое сопротивление определяется по формуле

$$Z_C = 138 \sqrt{\frac{\mu}{\varepsilon}} \cdot \lg \frac{R}{r_m}$$

Обычно выбирают $\frac{R}{r_m} = 2 \dots 5$;

Степень отражения электромагнитной волны от нагрузки характеризуется коэффициентом отражения. **Коэффициентом отражения по электрическому полю** называется отношение поперечных составляющих электрического поля для отраженной и падающей волн в одной и той же точке поперечного сечения линии передачи:

$$P = \frac{E_o(l)}{E_n(l)}. \quad (4)$$

Установим связь между коэффициентом отражения в разных сечениях линии передачи. При $l=0$, т.е. в сечении нагрузки, получаем

$$P_n = \frac{E_o}{E_n},$$

При произвольном значении l

$$P = \frac{E_o e^{-i\beta l}}{E_n e^{i\beta l}} = P_n e^{-i2\beta l}. \quad (5)$$

Очень часто наряду с коэффициентом отражения вводят входного сопротивления линии передачи. Под **входным сопротивлением** понимают отношение поперечных составляющих в произвольном сечении линии передачи (на входе линии)

$$Z_{\text{вх}} = \frac{E(l)}{H(l)} = Z_C \frac{E_n(l) + E_o(l)}{E_n(l) - E_o(l)} = Z_C \frac{1 + P}{1 - P}. \quad (6)$$

На практике чаще используют нормированное значение сопротивления $Z' = Z/Z_C$, т. е.

$$Z'_{ex} = \frac{1-P}{1+P}. \quad (7)$$

Можно выразить коэффициент отражения через нормированное входное сопротивление

$$P = \frac{Z'_{ex}-1}{Z'_{ex}+1}. \quad (8)$$

При $l=0$

$$Z'_{ex} = \frac{E(0)}{H(0)} = Z'_n = Z'_c \frac{E_n(0)+E_o(0)}{E_n(0)-E_o(0)} = Z'_c \frac{1+P_n}{1-P_n}, \quad (9)$$

нормированное сопротивление нагрузки определяется

$$Z'_n = \frac{1+P_n}{1-P_n}. \quad (10)$$

Можно выразить коэффициент отражения от нагрузки через нормированное сопротивление нагрузки

$$P_n = \frac{Z'_n-1}{Z'_n+1}. \quad (11)$$

Выводы:

- 1.) В коаксиальном волноводе, работающем на волне TEM волновое сопротивление не зависит от частоты.
- 2.) В прямоугольном волноводе, работающем на волне типа E или H волновое сопротивление зависит от частоты.
- 3.) Входное сопротивление линии передачи при наличии отраженной является периодической функцией и зависит от длины линии передачи.

2. Распределение амплитуд напряженностей электрического и магнитного полей вдоль линии передачи. Зависимость режима работы линии передачи от свойств нагрузки

Когда в линии передачи распространяется только падающая волна, в любом сечении линии амплитуда электрического (магнитного) поля одна и та же. При наличии отраженной волны в линии происходят сложение полей падающей и отраженной волн. В тех сечениях, где поля складываются в фазе, напряженности поля максимальны, а там, где складываются в противофазе, напряженности поля минимальны (рис. 3). Формулы, описывающие распределение E и H вдоль волновода, можно получить из выражений (2). Для электрического поля с учетом (5) получим

$$|E| = \left| E_n e^{i\beta l} (1 + P_n e^{-i2\beta l}) \right|. \quad (12)$$

Аналогично для магнитного поля:

$$|H| = \left| \frac{H_n}{Z_c} e^{i\beta l} (1 - P_n e^{-i2\beta l}) \right|. \quad (13)$$

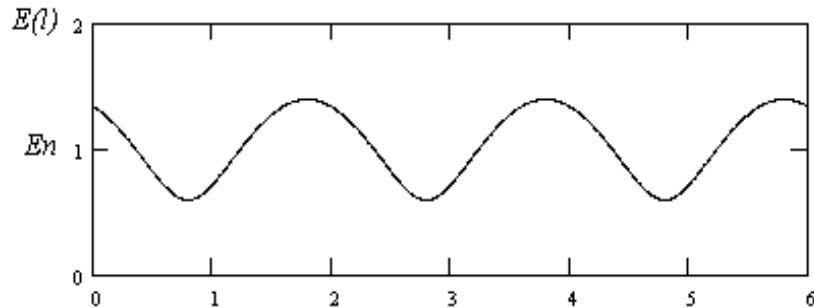


Рис. 3

Отношение поля в максимумах к напряженности в минимумах называется **коэффициентом стоячей волны** (КСВ) K_c

$$K_c = \frac{E_{\max}}{E_{\min}}. \quad (14)$$

Величина обратная КСВ называется **коэффициентом бегущей волны** (КБВ)

$$K_b = \frac{1}{K_c}. \quad (15)$$

Величина K_c (K_b) является важной характеристикой режима работы линии передачи, она всегда включается в паспортные данные любого устройства СВЧ. Коэффициенты бегущей и стоячей волны связаны с модулем коэффициента отражения

$$\left. \begin{aligned} K_b &= \frac{1 - |P|}{1 + |P|}, \\ K_c &= \frac{1 + |P|}{1 - |P|}. \end{aligned} \right\} \quad (16)$$

Из рис. 3 видно, что расстояние между соседними минимумами или максимумами равно половине длине волны в волноводе $\lambda/2$. Измерение λ и K_c осуществляется с помощью специальных устройств СВЧ – измерительных линий.

Проанализируем полученные ранее выражения для коэффициента отражения, коэффициента отражения на нагрузке, распределения амплитуды напряженности электрического поля вдоль линии передачи и рассмотрим несколько частных случаев, соответствующих определенным режимам работы волновода.

1. Режим бегущих волн. Он возникает в случае, когда сопротивление нагрузки равно волновому сопротивлению линии передачи $Z_n=Z_c$. Из формул (5),(11), (16) следует, что в этом случае $P_n=0$, $P=0$, $K_\delta=K_c=1$. Подставив $P_n=0$ в выражение (12) получим

$$|E|=|E_n|.$$

Данное уравнение описывает только падающую волну (отраженная отсутствует), амплитуда которой вдоль линии передачи не меняется (рис. 4.). Коэффициенты бегущих и стоячих волн равны единице. Режим бегущих волн является наилучшим для передачи СВЧ-энергии от источника к нагрузке. Его еще называют режимом согласованной нагрузки.

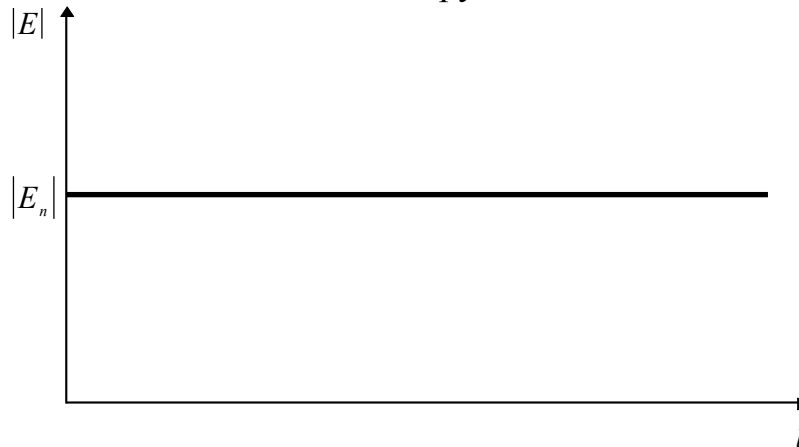


Рис. 4

2. Режим стоячих волн. Этот режим возникает в трех случаях. Рассмотрим первый из них - **короткое замыкание** $Z_n=0$. В соответствии с выражением (11) $P_n= -1$, следовательно, распределение амплитуд вдоль волновода будет описываться выражением:

$$|E|=2|E_n|\sin(\beta l). \quad (17)$$

При $\lambda_v=4$ см получается следующее распределение амплитуды поля рис. 5.

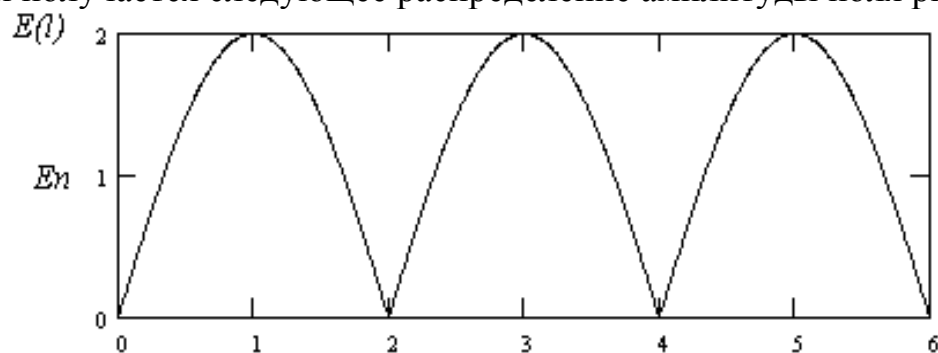


Рис. 5

Из графика распределения амплитуд (рис. 5) видно, что в волноводе появляются сечения, где амплитуда удваивается по сравнению со случаем бегущей волны, а в других сечениях она падает до нуля. Коэффициент бегущей волны становится равным нулю ($K_\delta=0$), а коэффициент стоячей волны равным бесконечности ($K_c=\infty$). Таким образом, в волноводе возникает стоячая волна. Распространения энергии в нем в этом случае не происходит.

Характерной особенностью случая **КЗ** является то, что на нагрузке напряженность поля равна нулю.

Режим стоячей волны возникает также и в случае **холостого хода**, т. е. когда $Z_n = \infty$. Величина P_n принимает значение $P_n = 1$, а распределение амплитуд описывается выражением

$$|E| = 2|E_n| \cos(\beta l). \quad (18)$$

При $\lambda_v = 4$ см получается следующее распределение амплитуды поля рис. 6.

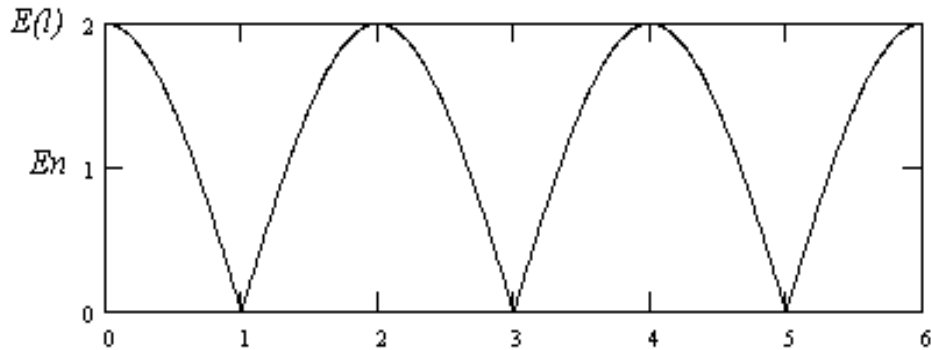


Рис. 6

График распределения амплитуд при холостом ходе (рис. 6) сдвинут на $\lambda_v/4$ по сравнению со случаем короткого замыкания. Коэффициенты КБВ и КСВ остаются прежними.

Стоячая волна возникает в волновом волновом также **при реактивном характере нагрузки** $Z_n = \pm iX$. Распределение амплитуд в данном случае (рис. 7) приобретает сдвиг вдоль волновода, зависящий от фазы коэффициента отражения φ_n

$$|E| = 2|E_n| \cos(\beta l - \varphi_n). \quad (19)$$

При $\lambda_v = 4$ см получается следующее распределение амплитуды поля рис. 7.

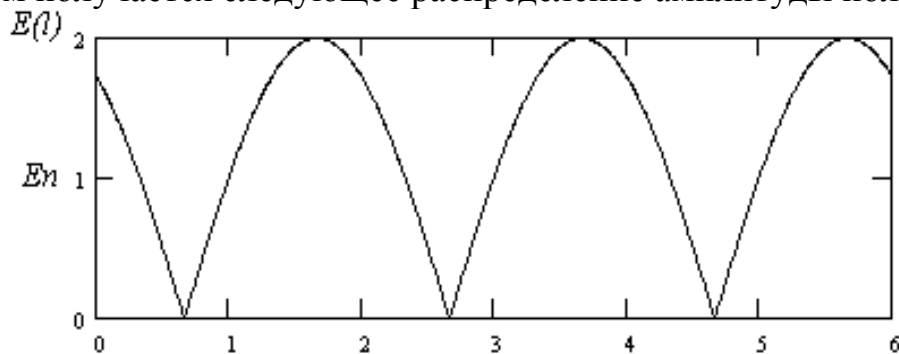


Рис. 7

3. Режим смешанных волн наблюдается чаще других. Это связано с тем, что не удастся добиться строгого равенства сопротивления нагрузки и волнового сопротивления линии передачи. Поэтому при $Z_n \neq Z_c$, кроме падающей волны, в волновом волновом присутствует отраженная волна. Коэффициент отражения лежит в пределах $0 < |P| < 1$, коэффициент бегущей волны изменяется в пределах $0 < |K_0| < 1$, коэффициент стоячей волны изменяется в пределах $1 < |K_0| < \infty$. Максимумы амплитуд поля становятся меньше (рис. 8) по сравнению с режимом стоячих волн (рис. 5, рис. 6, рис.

7). В связи с этим амплитуда напряженности электрического поля изменяется по закону

$$|E| = |E_n e^{i\beta l} (1 + P_n e^{-i2\beta l})| = |E_n| |1 + P_n e^{i(2\beta l - \varphi_n)}|. \quad (20)$$

При $\lambda_v = 4$ см, $|P_n| = 0.4$ и $\varphi_n = -36^\circ$ получается следующее распределение амплитуды электрического поля рис. 8.

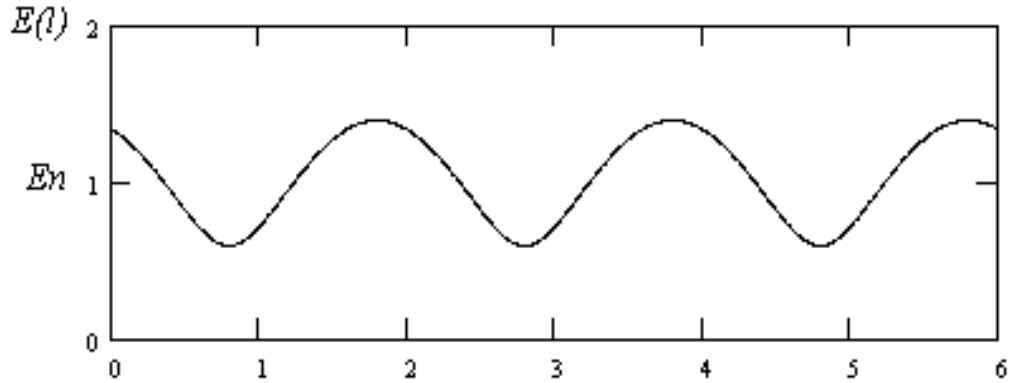


Рис. 8

Для того чтобы передавать по волноводу наибольшую энергию следует стремиться к максимальному повышению КБВ путем уменьшения отражений от нагрузки.

Выводы:

- 1.) В режиме бегущих волн амплитуда электрического поля, входное сопротивление не зависит от длины линии передачи.
- 2.) В режиме стоячих и смешанных волн амплитуда электрического поля, входное сопротивление зависит от длины линии передачи. Период равен $\lambda_g / 2$.
- 3.) Режим бегущих волн – самый благоприятный режим работы, так как вся энергия от генератора попадает в нагрузку.
- 4.) Режим стоячих волн – самый неблагоприятный режим работы, так как вся энергия отражается от нагрузки.

3. Резонансные свойства отрезков волноводов

В технике сверхвысоких частот находят применение отрезки волноводов, замкнутые или разомкнутые на конце. Это вызвано тем, что их входное сопротивление обладает специфическими свойствами

$$Z_{\text{вх}} = \frac{E(l)}{H(l)} = Z_c \frac{1 + P_n e^{-i2\beta l}}{1 - P_n e^{-i2\beta l}} = R_{\text{вх}} + i \cdot X_{\text{вх}}. \quad (21)$$

Рассмотрим короткозамкнутый отрезок волновода $Z_n = 0$, тогда $P_n = -1$. Выражение (6) при $P_n = -1$ преобразуется к виду

$$Z_{\text{вх}} = Z_c \frac{1 - e^{-i2\beta l}}{1 + e^{-i2\beta l}} = Z_c \frac{e^{i\beta l} - e^{-i\beta l}}{e^{i\beta l} + e^{-i\beta l}} = Z_c \cdot i \cdot \operatorname{tg}(\beta l), \quad (22)$$

$$X_{\text{вх}} = Z_c \cdot \operatorname{tg}(\beta l). \quad (23)$$

Входное сопротивление отрезка имеет чисто реактивный характер (рис. 9). Из анализа графика следует, что через расстояния $\lambda_g/2$ характер входного сопротивления повторяется. Кроме того, данный отрезок волновода обладают резонансным характером сопротивления.

В частности, при значениях $l = \lambda_g/4$ график X_{ex} (рис. 9) напоминает зависимость реактивного сопротивления параллельного колебательного контура от длины волны. Его входное сопротивление равно бесконечности, что позволяет использовать такой отрезок в качестве колебательной системы или металлического изолятора на сверхвысоких частотах. С другой стороны при значениях $l = \lambda_g/2$ и кратных им входное сопротивление равно нулю график X_{ex} (рис. 9) напоминает зависимость реактивного сопротивления последовательного колебательного контура (при $\lambda_B = 4$ см).

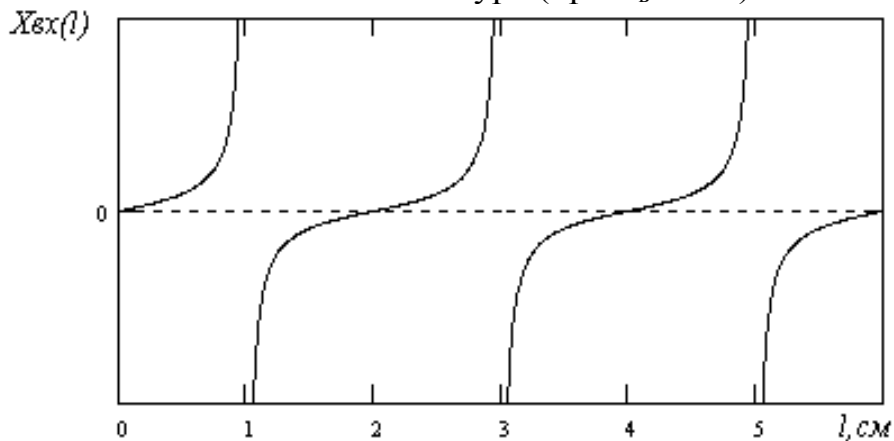


Рис. 9

Рассмотрим отрезок волновода, у которого $Z_H = \infty$ ($P_H = 1$). Выражение (6) при $P_H = 1$ преобразуется к виду

$$Z_{ex} = Z_c \frac{e^{i\beta l} + e^{-i\beta l}}{e^{i\beta l} - e^{-i\beta l}} = -i \cdot Z_c \cdot \text{ctg}(\beta l), \quad (24)$$

$$X_{ex} = -Z_c \cdot \text{ctg}(\beta l). \quad (25)$$

Входное сопротивление отрезка имеет чисто реактивный характер (рис. 10). Из анализа графика следует, что через расстояния $\lambda_g/2$ характер входного сопротивления повторяется ($\lambda_B = 4$ см). Кроме того, данный отрезок волновода также обладают резонансным характером сопротивления.

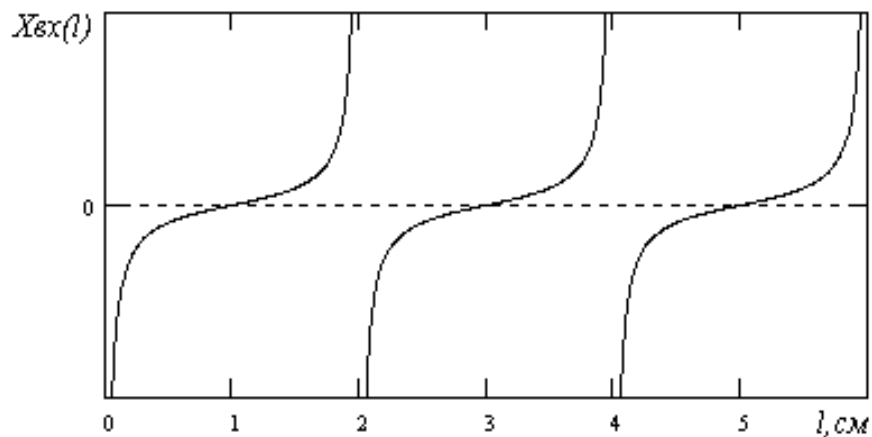


Рис. 10

В частности, при значениях $l = \lambda_g/2$ график X_{ex} (рис. 10) напоминает зависимость реактивного сопротивления параллельного колебательного контура от длины волны. Его входное сопротивление равно бесконечности. С другой стороны при значениях $l = (2n+1)\lambda_g/4$ (где $n=0,1,2,3,\dots$) входное сопротивление равно нулю. График X_{ex} (рис. 10) напоминает зависимость реактивного сопротивления последовательного колебательного контура.

Резонансные отрезки короткозамкнутых и разомкнутых волноводов применяются в качестве колебательных систем генераторов, усилителей и фильтров диапазона СВЧ.

Выводы:

- 1.) Короткозамкнутые и разомкнутые отрезки волноводов могут использоваться для создания реактивных элементов в диапазоне СВЧ. Наибольшее распространение получили короткозамкнутые отрезки волноводов.
- 2.) Резонатор имеет наименьшую длину равную $\lambda_g/4$, если один конец замкнут, а другой разомкнут.
Если резонатор имеет короткозамкнутые или разомкнутые концы, то наименьшая длина равна $\lambda_g/2$.